

EL NIÑO/OSCILACIÓN DEL SUR (ENSO, por sus siglas en inglés) DISCUSIÓN DIAGNÓSTICA

emitido por el

CENTRO DE PREDICCIÓN CLIMÁTICA/NCEP/NWS
Traducción cortesía del: NWS-WFO SAN JUAN, PUERTO RICO
11 de septiembre de 2025

Estatus del Sistema de alerta del ENSO: [Vigilancia de La Niña](#)

Sinopsis: Una transición de ENSO-neutral a La Niña es probable en los próximos meses, con un 71% de probabilidad de La Niña durante octubre - diciembre 2025. Luego, se favorece La Niña, pero las probabilidades disminuyen a 54% entre diciembre 2025 - febrero 2026.

En agosto de 2025 continuó el ENSO-neutral, con temperaturas de la superficie del mar (SSTs, por sus siglas en inglés) cercanas a inferiores al promedio observado a través del centro y este del océano Pacífico ecuatorial (Fig. 1). Los valores semanales más recientes del índice de SST de El Niño fluctuaron entre -0.4°C a -0.2°C (Fig. 2). Las anomalías negativas de temperatura subsuperficial (promediadas entre 180° y 100°W) se intensificaron (Fig. 3), con temperaturas por debajo del promedio predominando desde la superficie hasta los 200 m de profundidad en el centro y este del Pacífico (Fig. 4). Las anomalías en los vientos en los niveles bajos estuvieron del este sobre la mayoría del Pacífico ecuatorial, mientras que las anomalías en los vientos en los niveles altos estuvieron del oeste sobre el oeste y este del Pacífico ecuatorial. La convección se intensificó sobre Indonesia y se suprimió cerca de la Línea Internacional de Cambio de Fecha (Fig. 5). Colectivamente, el sistema acoplado océano-atmósfera reflejó la continuación de condiciones de ENSO-neutral.

Las predicciones del IRI favorecen levemente condiciones del ENSO-neutral durante el invierno del hemisferio norte 2025-26 (Fig. 6). Sin embargo, todos los modelos disponibles del Conjunto Multi-Modelo de Norteamérica favorecen el comienzo y persistencia de condiciones de La Niña durante el invierno. Basado en estas guías y en las tendencias observadas recientemente en la superficie y subsuperficie del Pacífico ecuatorial, el equipo de pronóstico también favorece el desarrollo de La Niña. En resumen, una transición de ENSO-neutral a La Niña es probable en los próximos meses, con una probabilidad de 71% de condiciones de La Niña durante octubre - diciembre 2025. Posteriormente, se favorece La Niña, pero la probabilidad disminuye al 54 % para el período de diciembre de 2025 a febrero de 2026 (Fig. 7).

Esta discusión es un esfuerzo consolidado de la Administración Nacional Oceánica y Atmosférica (NOAA, por sus siglas en inglés), el Servicio Nacional de Meteorología de NOAA y sus instituciones financiadas. Las condiciones oceánicas y atmosféricas son actualizadas semanalmente en la página web del Centro de Predicción Climática ([Condiciones actuales de El Niño/La Niña y La Discusión de Expertos](#)). Un pronóstico probabilístico de la intensidad de ENSO está disponible [aquí](#). La próxima Discusión Diagnóstica de ENSO está programada para el 9 de octubre de 2025. Para recibir una notificación por correo electrónico cuando la Discusión Diagnóstica de ENSO mensual esté disponible, favor enviar un mensaje a: ncep.list.ensupdate@noaa.gov.

Centro de Predicción Climática
Centros Nacionales de Predicción Ambiental
NOAA/Servicio Nacional de Meteorología
College Park, MD 20740

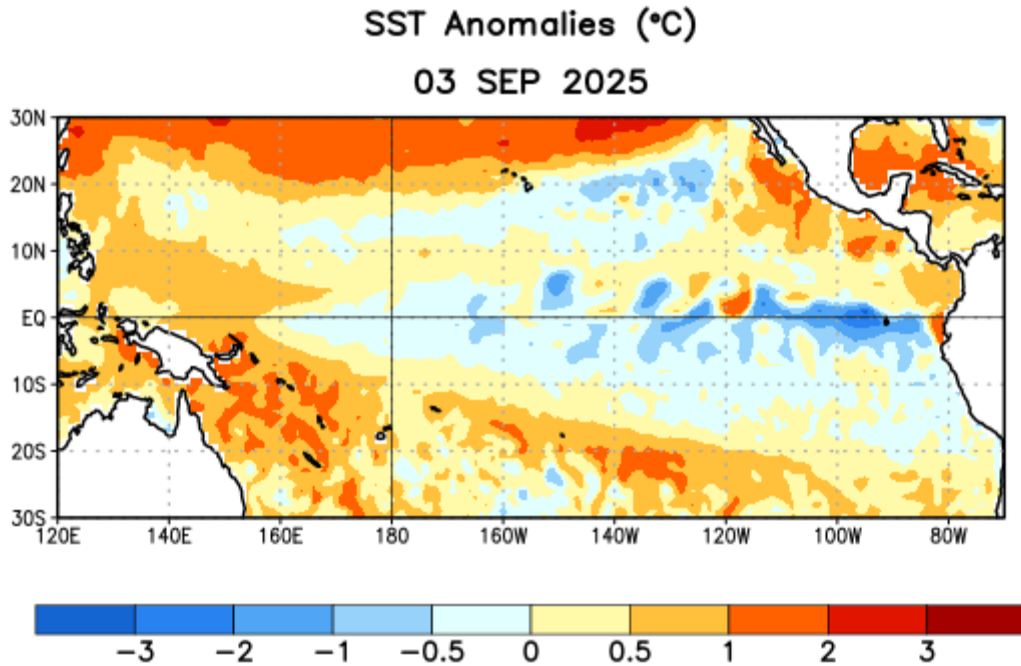


Figura 1. Anomalías (°C) de la temperatura promedio de la superficie del océano (SST, por sus siglas en inglés) para la semana centrada en el 3 de septiembre de 2025. Las anomalías son calculadas utilizando como referencia los promedios semanales del período base de 1991-2020.

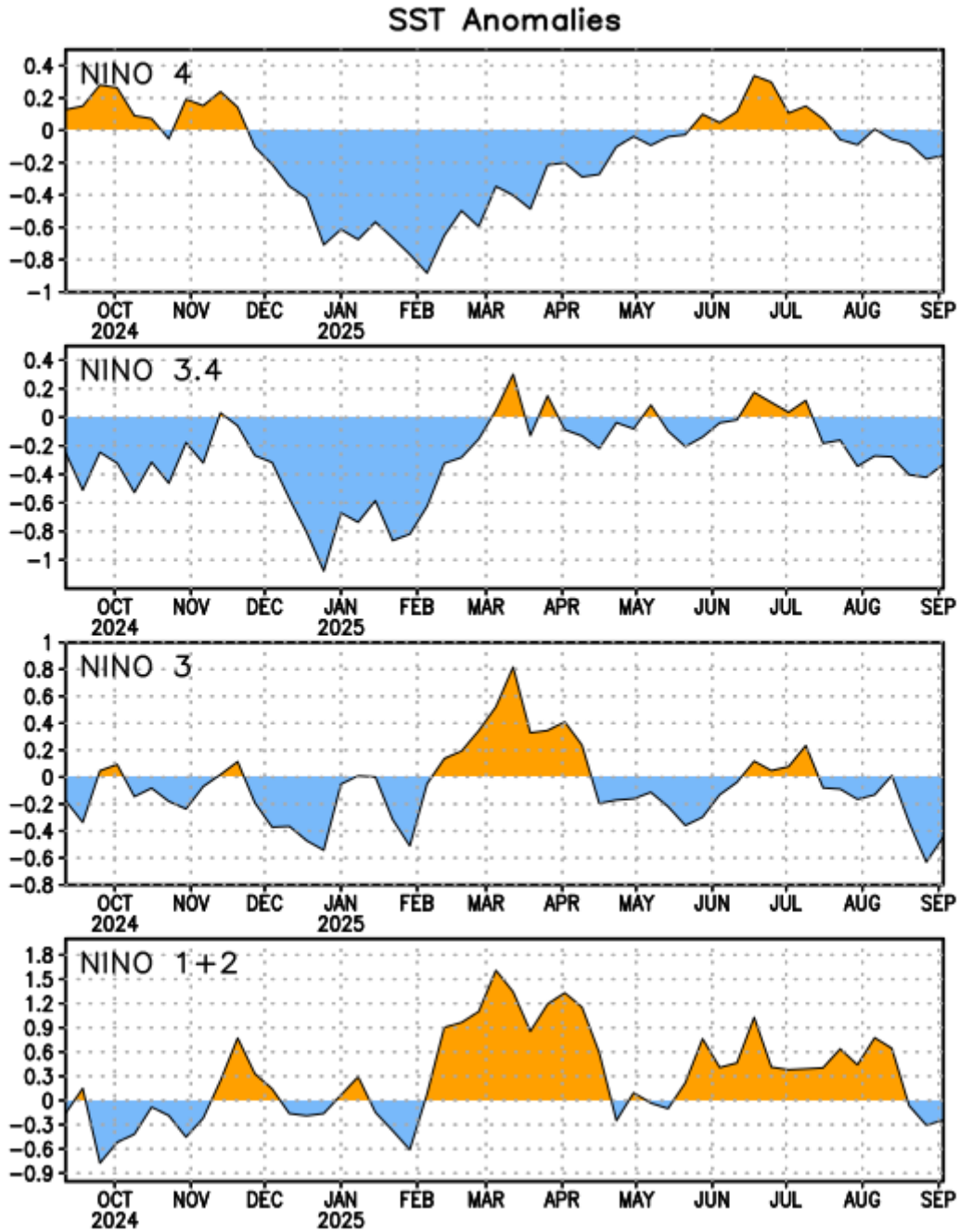


Figura 2. Series de Tiempo de las anomalías (en °C) de temperaturas de la superficie del océano (SST) en un área promediada en las regiones del Niño [Niño-4 (5°N-5°S, 150°W-160°E), Niño-3.4 (5°N-5°S, 170°W-120°W), Niño-3 (5°N-5°S, 150°W-90°W), Niño-1+2 (0°-10°S, 90°W-80°W)]. Las anomalías de SST son variaciones de los promedios semanales del período base de 1991-2020.

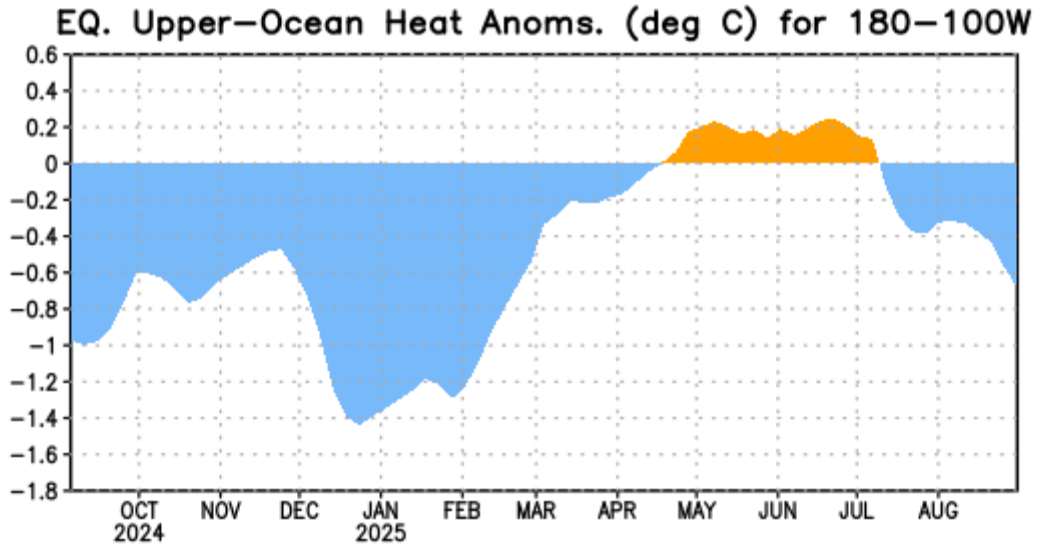


Figura 3. Anomalías del contenido calórico (en °C) en un área promediada del Pacífico ecuatorial (5°N-5°S, 180°-100°W). La anomalía del contenido calórico se calcula como la desviación de los penta-promedios del período base de 1991-2020.

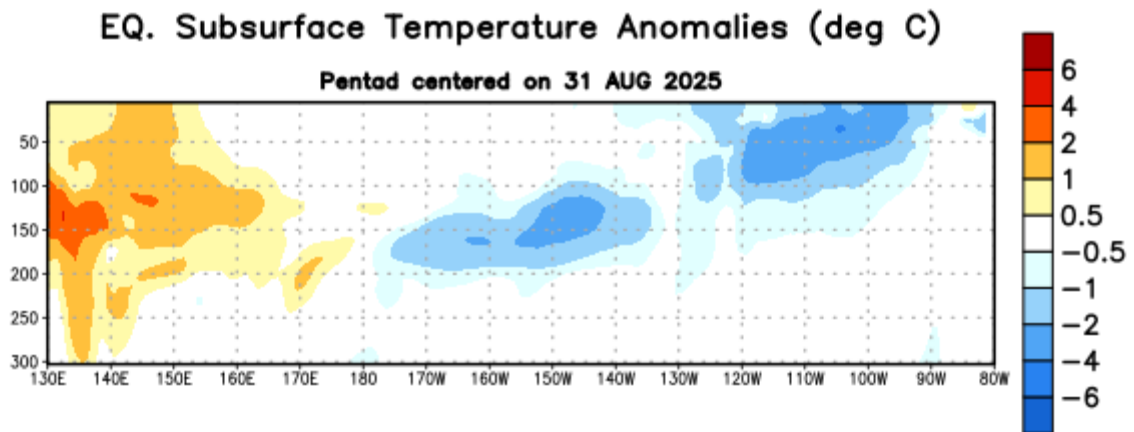


Figura 4: Sección de profundidad-longitud de las anomalías de temperatura (°C) de la capa superior del océano Pacífico ecuatorial (0-300 m) centrada en la péntada del 31 de agosto de 2025. Las anomalías son desviaciones respecto a los promedios de las péntadas del período base de 1991-2020.

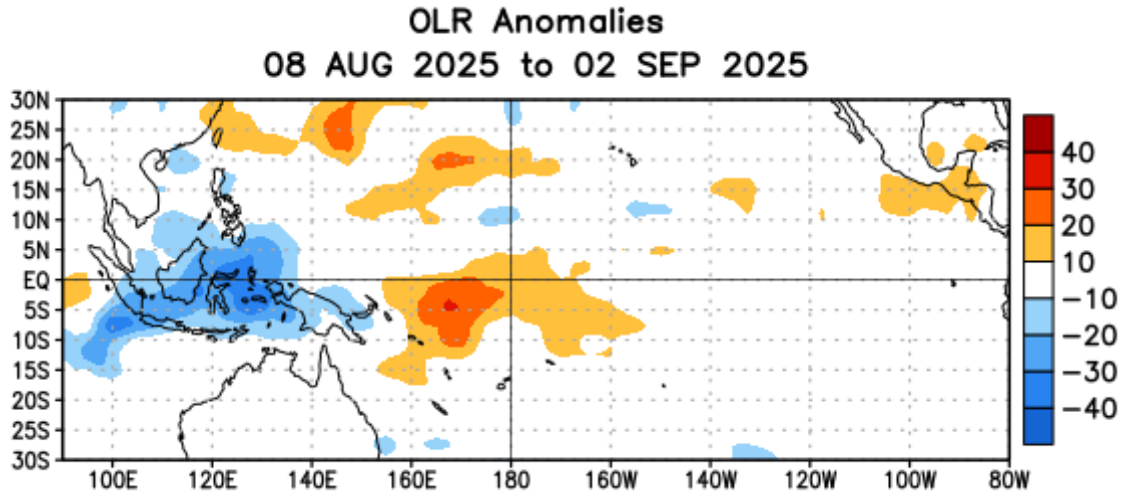


Figura 5. Promedio de las anomalías de radiación de onda larga saliente (OLR) (W/m^2) para el período del 8 de agosto al 2 de septiembre de 2025. Las anomalías de OLR se calculan como desviaciones respecto a las medias de las péntadas del período base 1991-2020.

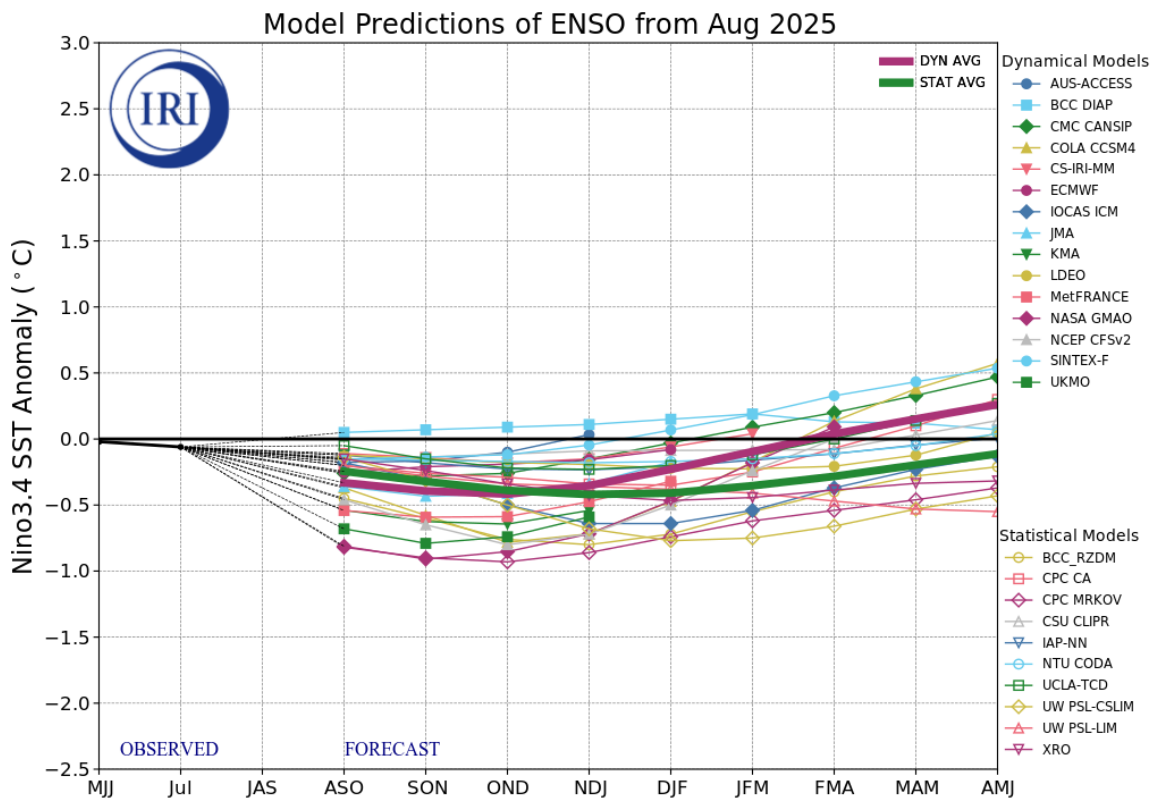


Figura 6. Pronósticos de las anomalías de la temperatura de la superficie del océano (SST) en la región de El Niño 3.4 ($5^{\circ}N-5^{\circ}S, 120^{\circ}W-170^{\circ}W$). Figura actualizada el 19 de agosto de 2025 por el Instituto Internacional de Investigación (IRI, por sus siglas en inglés) para Clima y Sociedad.

Official NOAA CPC ENSO Probabilities (issued September 2025)

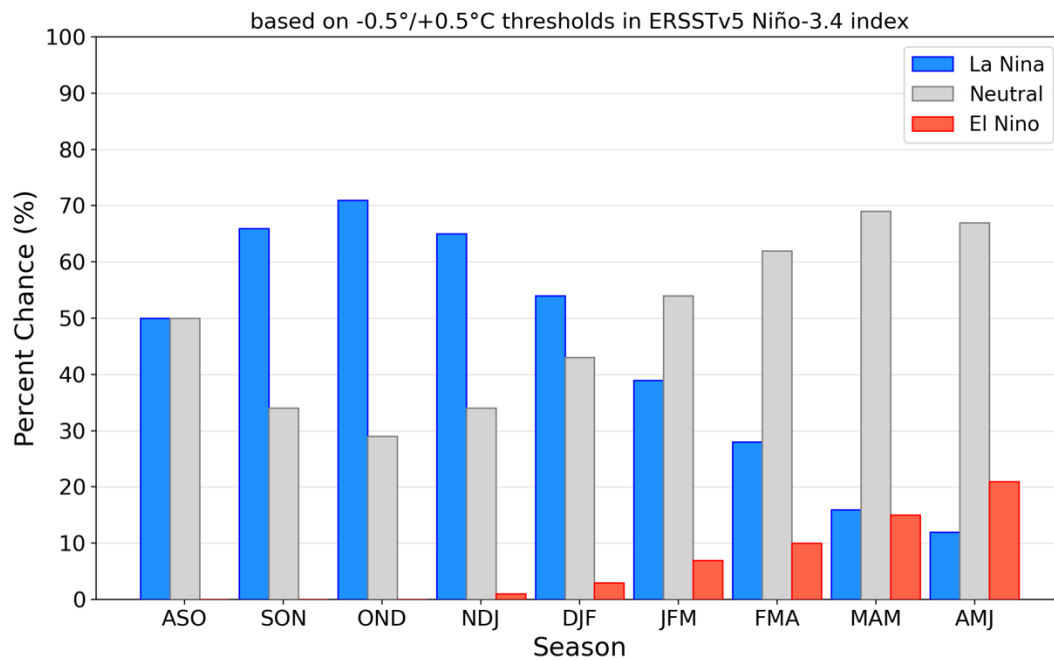


Figura 7. Probabilidades oficiales de ENSO para el índice de temperatura de la superficie del mar en la región Niño 3.4 (5°N - 5°S , 120°W - 170°W). Figura actualizada el 11 de septiembre de 2025.